

## *Leuconostoc paramesenteroides* 유기산 내성 변이균주의 내산성 특성

김영환 · 김희중 · 오균식 · 김선영 · 이시경<sup>1</sup> · 강상모\*

전국대학교 미생물공학과, <sup>1</sup>전국대학교 응용생물공학과

### The Acid-resistant Characteristic of Organic Acid Tolerance Mutant of *Leuconostoc paramesenteroides*

Young-Hwan Kim, Hee-Zoong Kim, Kyun-Sik Oh, Sun-Young Kim, Si-Kyung Lee<sup>1</sup>, and Sang-Mo Kang\*

Department of Microbial Engineering, Konkuk University

<sup>1</sup>Department of Applied Bio-Sciences, Konkuk University

**Abstract** To investigate the acid tolerance characteristics of the acid-resistant mutant, *Leuconostoc paramesenteroides* P-200, as a kimchi starter, this study examined proton permeability, ATPase activity, glycolysis activity, Mg<sup>2+</sup> release, and membrane fatty acid composition, and compared the data to that of its wild-type, *L. paramesenteroides* LP-W. In the proton permeability experiment, the LP-W and P-200 strains' average maximum half-time ( $t_{1/2}$ ) values for pH equilibration through the cell membrane were approximately 5.7 and 9.3 min in 150 mM KCl solution, and 4.2 and 8.3 min in 3% NaCl solution, respectively. Their values and pH levels for maximal specific ATPase activity showed that P-200 had greater activity than LP-W. And the results of pH-dependent glycolysis activity showed that P-200 had greater activity than LP-W. Furthermore, after 2 hr at pH 4.0, LP-W and P-200 had percent magnesium release values of approximately 12% and 34%, respectively. A comparison of their membrane fatty acid compositions indicated that C18 and cyclo-C19 were the major different fatty acids between the two strains, and their contents of C18 and cyclo-C19 were 2.5% and not detected, respectively, in LP-W, and 6.4% and 11.4%, respectively, in P-200. These results indicate that the P-200 strain has significantly improved acid tolerance as compared to its wild type, LP-W.

**Key words:** organic acid tolerance, *Leuconostoc paramesenteroides*, kimchi

### 서 론

김치는 알맞게 숙성되었을 때 맛이 좋지만 계속해서 발효가 진행되어 완숙기가 지나면 산패되는데, 이것은 *Lactobacillus plantarum*이 계속하여 젖산을 생산하기 때문이다(1). 그러나 김치가 숙성 중 특이 맛이 가장 좋을 때가 있는데 이런 경우는 대부분 저온숙성시킬 때이며 이때 *Leuconostoc paramesenteroides*가 많이 분포한다는 것이 알려져 있다(1).

따라서 산에 약한 *L. paramesenteroides*를 개량하여 내산성을 부여함으로 김치의 맛을 좋게 하면서 산패를 저연시키고자 하였다. 먼저 HCl에 내성을 갖도록 변이처리하여 얻은 *L. paramesenteroides* P-100을 김치에 starter로 첨가하였을 때 산패가 저연되었으나 젖산에 비교적 약하여 김치의 산패억제에 한계를 보였다(2). 이의 단점을 보완하고자 김치에 다량 함유된 유기산에 내성을 갖도록 균을 변이시켰다. 이렇게 김치의 대표적 유기산(젖산:초산=2:1)에 내성을 갖도록 변이시킨 *L. paramesenteroides* P-200을 김치에 starter로 첨가하였을 때 발효말기까지(35일) 산패가 억제되는 발효특성을 보여 보고하였다(2).

본 논문에서는 이 유기산 내성 변이주 P-200의 내산성을 결정하는 요인들을 알아보기 위하여 세포막의 proton 투과도, H<sup>+</sup>-ATPase 활성, glycolysis의 pH 의존성, Mg<sup>2+</sup> 해리도, 세포막의 지방산 조성 등에 대하여 조사하였다.

### 재료 및 방법

#### Proton 투과도

야생균주(*L. paramesenteroides* KCCM 35471)와 이의 유기산 내성 변이균주 M-200을 MHHD배지(trypicase peptone 10 g, casamino acid 3 g, phyton peptone 1.5 g, yeast extract 1 g, tween 80 1 g, 10 mM MnSO<sub>4</sub>·H<sub>2</sub>O, glucose 21 g/L, pH 7.0)에서 30°C, 15시간 2회 전배양한 후, 원심분리(8,000 rpm, 4°C, 10분)하였다. 균체 농도를 10 mg(dry weight)/mL로 조정한 후 다시 30°C, 15시간 본 배양하여, Bender 등(3)의 방법을 변형하여, proton 투과도를 측정하였다. 즉, 원심분리(6,000 rpm, 4°C, 20분)하여 회수된 균체를 5 mM MgCl<sub>2</sub> 용액으로 2회 세척한 후, 1 mM MgCl<sub>2</sub>와 150 mM KCl을 함유한 인산 완충용액(pH 7.2, 20 mM)으로 혼탁시켜, 100 mM HCl과 50 mM KCl 또는 10 mM HCl과 150 mM KCl 혼합용액을 가하여 pH 4, 5, 6로 조절한 후 약 2분정도 안정화시켰다. Acid pulse를 유발시키기 위해 10 mM HCl과 150 mM KCl 혼합용액을 50 μL 첨가하고, 세포내외간에 proton의 cell내 유입에 따른 pH의 경시적인 변화( $\Delta$ pH)를 1분 간격으로 10 분 동안 측정하였다. 이때 최저로 떨어지는 pH를 pH  $\alpha$ 라고 한

\*Corresponding author: Sang-Mo Kang, Department of Microbial Engineering, Konkuk University, Seoul 143-701, Korea

Tel: 82-2-450-3524

Fax: 82-2-3437-8360

E-mail: kangsm@konkuk.ac.kr

Received October 25, 2007; revised May 26, 2008;

accepted July 7, 2008

다음, 다시 5%(v/v)의 butanol을 0.15 mL 첨가하여 세포막을 파괴한 후, 외부 환경과의 평형을 이루는 pH를 pH  $\omega$ 로 하였다. pH  $\alpha$ 와 pH  $\omega$ 의 차이의 평균 pH에 도달하는데 걸리는 시간을  $t_{1/2}$ 로 정의하였다.

그리고 김치에는 식염이 약 2.5% 정도 함유되어 있으므로 Na<sup>+</sup> 존재시 proton 투과도의 차이를 알아보기 위해 KCl 용액 대신 NaCl 3%로 조정한 인산 완충용액을 사용하여 상기와 동일한 방법으로 proton 투과도를 측정하여 비교하였다.

#### H<sup>+</sup>-ATPase 활성

조효소액의 제조(4-6)는 다음과 같이 하였다. 균주를 대수 증식기 후반까지 배양하고 원심분리하여 0.1 M KCl 용액으로 2회 세척하였다. 세척된 균체(wet weight 0.5 g)를 1 mM EDTA와 2 mM MgCl<sub>2</sub>가 함유된 Tris-HCl buffer(pH 7.5, 75 mM) 10 mL에 혼탁하여 얼음속의 hand glass tube에 넣고 sonication(60% pulse, 15분)하였다. DNase I(Sigma Chemical Co., St Louis, MO, USA), RNase A(Sigma Chemical Co.)를 10 µg/mL 첨가하고, β-aminobenzoamide(분자량 136.2)를 40 mM 수준으로 첨가한 후 실온에서 45분간 반응시켰다. 반응이 끝난 균체 파쇄액을 원심분리(15,000×g, 20분)하여 파쇄되지 않은 균체와 침전물을 분리하고 상층액을 ATPase 활성 측정용 조효소액으로 사용하였다.

H<sup>+</sup>-ATPase 활성은 Fiske-Subbarow의 방법(3)에 따라 측정하였으며, 그 과정은 다음과 같다. 조제된 조효소액 100 µL에 10 mM MgSO<sub>4</sub>와 2 mM ATP(Sigma Chemical Co.)를 함유한 pH 3.5, 4.0, 4.2, 4.5, 5.0, 5.5, 6.0, 6.5, 7.0, 7.5로 조정된 완충액 900 µL를 각각 첨가하고 30°C에서 10분 동안 효소반응시켰다. 여기에 3 mL의 중류수와 1 mL의 3.5 N 황산용액을 가하여 효소반응을 종결시켰다. 효소반응이 완료된 용액에 3.5% ammonium molydate 용액 1 mL를 첨가하였다. 이것을 실온에서 20분간 반응시킨 후, 660 nm에서 흡광도를 측정하고 standard curve로부터 ATPase에 의해 유리된 inorganic phosphate의 양을 환산하였다. 효소의 단위는 1분 동안 1 µmol의 inorganic phosphate를 유리시키는 효소의 양을 다음의 단백질 정량법에 따라 단위 중량으로 환산하여 1 unit로 하였다.

Protein의 정량은 Lowry 방법(7,8)에 따라 측정하였으며, 그 과정은 다음과 같다. 조효소액 0.3 mL에 alkaline sodium dodecyl sulfate 용액((2%(w/v) Na<sub>2</sub>CO<sub>3</sub>, 1%(w/v) sodium dodecyl sulfate, 0.4%(w/v) NaOH, 0.16%(w/v) sodium tartate)) 10 mL와 cupric 용액(4%(w/v) CuSO<sub>4</sub>·5H<sub>2</sub>O) 0.1 mL가 혼합된 용액 1 mL를 첨가한 후 상온에서 10분간 반응시키고, 이 반응액에 Folin-Ciocalteu phenol reagent를 동일한 양의 중류수로 회색한 용액 0.1 mL를 첨가하고 강하게 진탕하면서 상온에서 45분간 반응시킨 후, 660 nm에서 흡광도를 측정하였다. Bovine serum albumin으로 조정한 표준곡선으로부터 단백질 함량을 정량하였다.

#### Glycolysis

Bender 등의 방법(9)을 이용한 것으로 대수증식기 후반까지 균체를 배양하고, 이를 원심분리하여(6,000 rpm, 4°C, 20분) 균체를 회수하였다. 다음 탈이온수로 세척한 후 1 mM MgCl<sub>2</sub>를 함유한 인산완충용액(pH 7.2, 20 mM)에 균체를 2 mg/mL(dry weight) 수준으로 혼탁하여 시험관에 1 mL씩 분주하였다. 이를 30°C에서 30분간 배양하고 원심분리한 후(10,000 rpm, 4°C, 3 min), 세포를 원하는 pH의 wide range buffer(glucose를 33.3 mM 함유한 citrate/NaHPO<sub>4</sub> buffer)에 혼탁시켰다. 다시 30°C에서 2시간 배양하고 원심분리 후 상층액을 glucose oxidase가 포함된 glucose 정량용 kit

로 glucose 함량을 측정하였다. 즉, sample 20 µL에 발색시약 3 mL를 첨가, 혼합한 후 37°C에서 18분간 반응시켜 505 nm에서 흡광도를 측정하여 표준액의 흡광도를 기준으로하여 각 sample의 glucose 함량을 정량하였다.

#### Mg<sup>++</sup> 해리도

Mg<sup>++</sup> 해리도 측정을 위한 균체 시료 준비는 Bender 등의 방법(9)에 따라 실시하였고, ICP(inductively coupled plasma)로 측정하였다. 즉, 야생균주와 변이균주를 대수증식기 말기까지 배양한 후 원심분리(8000 rpm, 4°C, 10 min)하여 집균하였다. 회수된 균체를 차가운 중류수로 1회 세척한 후 100 mL 중류수에 혼탁시켰다. 실험에 사용된 모든 용기는 H<sub>2</sub>SO<sub>4</sub>에 24시간 침적한 후 중류수로 세척하여 건조시켜 사용하였다.

건조 균체 단위 중량당 Mg<sup>++</sup> 함량 측정을 위하여 균주 혼탁액 5 mL를 취하여 110°C에서 항량이 될 때까지 건조시킨 후 중량을 측정하고, 550-660°C의 온도에서 6시간 회화시켰다. 이 회분을 방냉 후 6 N HCl 10 mL 첨가하여 100°C에서 24시간 분해시킨 후 ICP로 측정하였다.

균체 혼탁액 10 mL를 HCl을 사용하여 각각 pH 4, 5, 6으로 조절하고, 30분, 1시간, 2시간, 경과한 후 1 mL를 취하여 원심분리한 후 상층액으로 유출된 Mg<sup>++</sup>를 ICP로 측정하였다.

#### 세포막의 지방산 조성

세포막의 지방산 조성은 Sim(10) 및 Rizzo(11) 등의 방법을 참고하였다. 즉, 각 균주를 대수증식기 말기까지 증식시킨 후 원심분리(8,000 rpm, 4°C, 10분)하고 균체를 중류수로 2회 세척하였다. 분리된 균체의 중량(wet weight)를 측정하고, teflon lined screw capped vial에 균체 1-5 mL과 methanol/HCl 5% 용액 1.5 mL, chloroform 0.3 mL을 첨가하여 72°C, dry oven에서 24시간 methanolysis하면서 8시간 간격으로 0.3 mL chloroform을 첨가하고, 5분간 mild sonication하였다. 그후 질소 가스로 농축시킨 후 다시 chloroform을 첨가하고, glass wool을 통과시키는 과정을 3회 가량 반복하면서 불순물을 제거하고 지질총을 추출하였다. 각 지방산의 동정에 사용된 표준물질은 Sigma Chemical Co. 제품을 사용하였다. Gas chromatography 측정조건은 다음과 같다. 즉, GC-8A 모델(Shimadzu, Kyoto, Japan)의 기계에, 검출기는 flame ionization detector를 사용하였으며, DBI capillary column을 사용하였고, support는 chromosorb WAW, DMCS 100/120을 이용하였다. 주입온도는 270°C, 검출온도는 300°C로 하였고, 초기온도는 50°C로 하여, 최종온도 100°C, 최종시간 0분, 프로그램속도 10°C/분과 150°C, 0분, 3°C/분 및 300°C, 20분, 4°C/분의 3가지의 프로그램을 적용하였다. Carrier gas는 질소 gas(200 kPa의 속도)를 사용하였다.

## 결과 및 고찰

#### Proton 투과도

Proton 투과도는 세포질막 자체의 물리적 성질, 그와 연관되는 지방산 조성의 변화 및 H<sup>+</sup>-ATPase를 비롯한 세포질막에 발현되는 다양한 효소의 양과 기능활성 등의 통합적인 것으로, 내산성 일수록 산성 환경에서 net proton permeability가 낮아지는 것으로 알려져 있다(3-11,12).

Fig. 1은 각 pH에서의 *L. parmesneteroides*의 proton 투과도로  $t_{1/2}$  최대값의 결과는 나타낸 것이다. 150 mM KCl에 혼탁시킨 경우, 야생주 *L. parmesenteroides*(이하 LP-W라 함)의 경우 pH

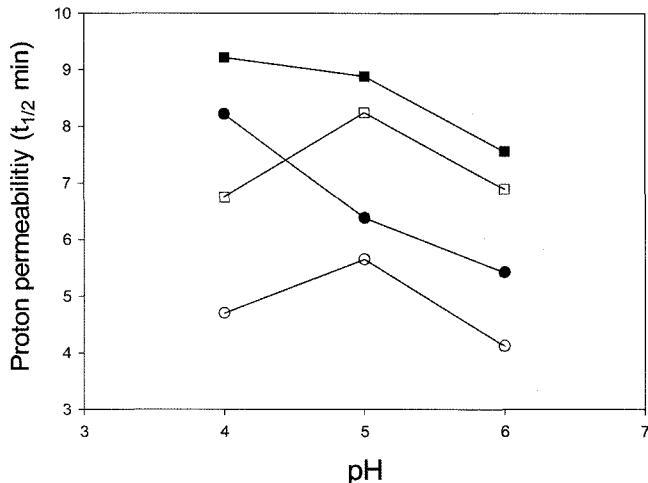


Fig. 1. Proton permeabilities of LP-W and P-200 strains as a function of environmental pH value. ○, *L. parameceteroides* LP-W+3% NaCl solution; □, *L. parameceteroides* LP-W+150 mM KCl solution; ●, *L. parameceteroides* P-200+3% NaCl solution; ■, *L. parameceteroides* P-200+150 mM KCl solution.

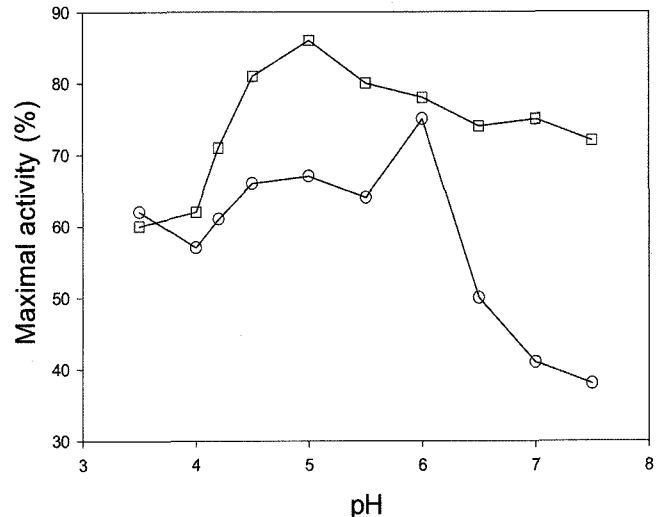


Fig. 2. Acidity-pH profiles for ATPase of membranes isolated from cells of LP-W and P-200 of *L. parameceteroides*. The maximal activities of the membrane ATPase were 0.6 and 0.7 U/mg of membrane protein of LP-W and P-200. ○, *L. parameceteroides* LP-W ; □, *L. parameceteroides* P-200.

5에서 8.31분이며 유기산 내성 변이균주 P-200은 pH 4에서 9.2분이었다. 그리고 3% NaCl 용액에서 볼 때 LP-W는 pH 5에서 8.9분이며, P-200은 pH 5에서 8.2분이었다. 변이균주 P-200의  $t_{1/2}$  최대값이 pH 4.0, 5.0 그리고 6.0에서 모두 야생균주 LP-W 보다 2내지 3분 정도 더 큰 값을 가지며 실제로 proton의 평형을 이루는 시간이 약 50% 정도 더 길었다. 이와 같이 KCl에서나 NaCl에서 유기산내성 변이주 P-200이 proton 투과도가 LP-W 보다 더 낮은 것을 알 수 있었다.

Kobayashi(13)는 일반적으로 내산성 균주의 경우, 산성 pH 영역에서 proton에 대한 투과도가 낮은 성질을 갖고 있으며, 이런 낮은 투과도는 세포막의 물리적인 성질에 기인되는 것일 뿐만 아니라, 세포질막에 결합되어 있는 proton-전위성 ATPase의 발현 양 및 그 것의 비활성(specific activity) 등의 특성과 연관되는 것이라고 하였다.

본 특성 변화로 인해 유기산 내성 변이균주 P-200을 김치에 첨가 시 발효말기인 pH 4 부근에서 야생균주 LP-W 보다 높은 생육활성을 유지할 수 있었던 이유가 이러한 proton 투과도가 낮아서 나타난 것으로 생각되었다.

그리고 유기산내성 변이균주 P-200이 HCl 내성 변이주 *L. parameceteroides* P-100에 비하여 내산성이 더 강하며 P-100과는 달리 김치에 starter로 첨가시 김치를 발효기간 35일 내내 산패시키지 않았다(2). 그 원인 중의 하나를 proton 투과도에서 볼 수 있었다. P-200의 경우, proton 투과도에서는 HCl 내성균 M-100(14)하여 pH 4와 5에서 proton 투과도로  $t_{1/2}$  최대값은 약 1분정도 씩 더 큰 값으로 나타내었다. 즉 P-200이 proton 투과도 값에서 비교해 볼때 P-100에 비하여 산에 견디는 힘이 더 강하다는 것을 알 수 있었다.

#### ATPase 활성

H<sup>+</sup>-ATPase의 활성이 내산성에 관여하는 기작은 발효 과정 중에 생성되는 유기산에 의해 외부 pH가 낮아지면 세포 내부로 수소이온의 유입이 늘어나게 되는데, 이때 H<sup>+</sup>-ATPase의 활성이 높을수록 수소 이온을 효과적으로 방출하여 세포 내부의 pH를 유지함으로써 산에 대한 내성을 주는 것으로 알려져 있다(15).

Fig. 2에서 볼 수 있듯이 buffer pH range를 pH 7.5, 7.0, 6.5, 6.0, 5.5, 5.0, 4.5, 4.2, 4.0 및 3.5로 조정하였을 때, pH 5에서 비활성이 가장 높게 나타났다. 각 균주의 최대 활성은 야생균주 LP-W가 pH 6에서 0.6 unit/mg 그리고 P-200이 pH 5에서 0.7 unit/mg 을 나타내었다. 거의 모든 경우에서 내산성 변이균주가 야생균주 보다 H<sup>+</sup>-ATPase의 활성이 높은 것을 알 수 있었다.

본 실험에서 H<sup>+</sup>-ATPase의 최대활성은 LP-W의 경우는 pH 6일 때이고, 내산성 변이균주 P-200은 pH 5에서 최대 활성을 나타내었다. 이는 proton 투과도와 H<sup>+</sup>-ATPase 활성을 비교하였을 때, ATPase의 활성이 가장 높을 때의 pH는 proton 투과도가 가장 낮을 때의 pH 보다 1 unit 정도 높으며, 이 차이는 ATPase가 세포막의 세포질 표면에 위치하고 있어 세포가 산성환경에 놓여 있을 때 세포질은 상대적으로 알칼리 상태를 유지하면서 세포막内外의  $\Delta\text{pH}$ 를 유지할 수 있기 때문이라고 하는 Bender 등(9)의 보고와 같은 결과이다.

그리고 P-200과 P-100(2)의 H<sup>+</sup>-ATPase의 활성을 비교해보면 김치에서 중요한 pH 4-5 사이의 범위에서 비슷한 활성을 나타내나 pH 5에서 P-200이 P-100에 비하여 약 5% 더 높은 활성을 나타내는 것을 알 수 있었다. H<sup>+</sup>-ATPase 활성차이에 의해서도 P-200이 P-100보다 더 내산성이 강한 것으로 보인다.

#### Glycolysis 활성

에너지 대사의 가장 기초가 되는 glycolysis는 산에 대한 가장 예민한 대사과정으로 glycolysis의 저해는 가장 중요한 성장제한 요소가 된다(3,9). 즉 균주가 낮은 pH 영역에서도 glycolysis가 활발히 이루어지는 경우에는 내산성을 보유하는 것이라 할 수 있다.

Na-citrate buffer를 사용하여 pH profile에 따른 glycolysis 활성을 측정한 결과는 Fig. 3과 같다. Glycolysis 활성이 최대로 이루어지는 pH는 P-200은 pH 4일 때 97%였고 LP-W는 pH 5일 때 96%였다. 그리고 pH 5를 제외하면 측정한 pH 3-7 범위에서 LP-W에 비하여 P-200이 높은 glycolysis 활성을 보였다. 이러한 결과를 바탕으로 유기산내성 변이균주가 야생균주에 비해 더 내산성이 것을 알 수 있었다.

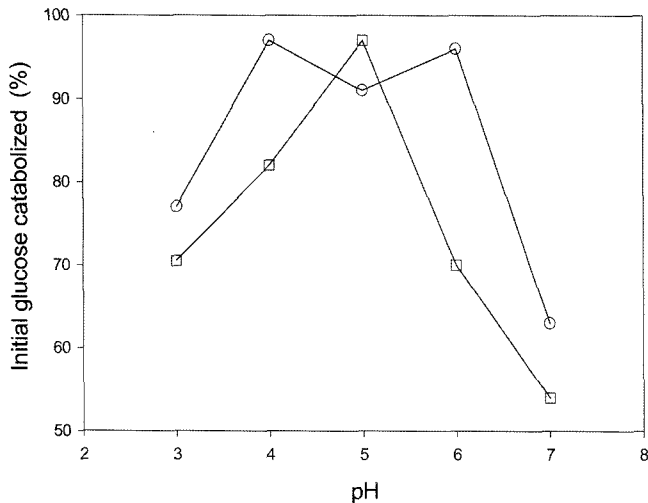


Fig. 3. Glycolysis activities of LP-W and P-200 of *L. paramesenteroides*. ○, *L. paramesenteroides* LP-W; □, *L. paramesenteroides* P-200.

유기산 내성 변이균주의 높은 해당작용 활성은 Bender 등(9)이 내산성 균주가 낮은 pH 환경에서도 높은 해당작용을 유지할 수 있는 이유는 해당작용에 관여되는 효소 그 자체가 산에 저항성이 보다는 내산성이 증가된 환경에서 보다 높게 유지되는 세포질내의 pH와 연관되어 있다고 제안하였듯이, 변이균주가 야생균주에 비해서 세포질내의 pH를 높게 유지할 수 있어 내산성이 증가되었다고 생각되었다.

그리고 유기산내성 변이균주 P-200이 HCl 내성 변이주 *L. paramesenteroides* P-100(2)에 비하여 내산성이 더 강한 것을 glycolysis 활성에서도 알 수 있었다. 즉, P-200의 경우, HCl 내성균 P-100에 비하여 김치에서 중요한 pH 4에서 glycolysis 활성이 97%를 나타내었으나 P-100은 약 85% 정도를 나타내어 P-200이 pH 4에서 상당히 활성이 좋은 것을 알 수 있었다.

#### Mg<sup>++</sup> 해리도

Bender 등(9)에 의하면 균주의 세포막이 산에 의해 손상(acid damage)를 받게 되면 세포중의 무기질이 세포밖으로 유출되는데, 무기질중 Mg<sup>++</sup>이 가장 민감한 지표로서 균주가 내산성일수록 Mg<sup>++</sup> 해리도가 낮아지게 된다고 보고하였다.

*L. paramesenteroides*의 야생균주 LP-W, 그리고 유기산내성 변이균주 P-200의 pH별 Mg<sup>++</sup> 해리도를 측정한 결과를 Fig. 4에 나타내었다. 야생균주 LP-W는 pH 4에서 2시간 경과 후 Mg<sup>++</sup> 해리도가 35.5%로 최대를 보였다. 그러나 변이균주 P-200은 12% 정도로 LP-W 보다 1/3가량 적게 나왔다. 그리고 pH 6에서는 모든 균에서 거의 산에 의한 손상을 입지 않은 것을 알 수 있었다.

본 실험에서는 모든 실험균주가 pH는 낮고, 시간이 경과할수록 Mg<sup>++</sup>의 해리도는 높아짐을 보였다. *L. paramesenteroides*의 야생균주 LP-W 보다 유기산내성 변이균주 P-200이 동일 조건일 때 Mg<sup>++</sup>의 해리도가 상대적으로 낮아 내산성이 더 강한 것을 알 수 있었다.

그리고 HCl 내성변이주 P-100(2)과 유기산 내성 변이주 P-200과의 Mg<sup>++</sup> 해리도를 비교해 볼 때 P-100은 pH 4에서 2시간 경과 후 24% 정도 용출된데 비하여 P-200은 이의 약 절반정도 용출되었다. 여기서도 P-200이 P-100 보다 더 내산성임을 알 수 있었다.

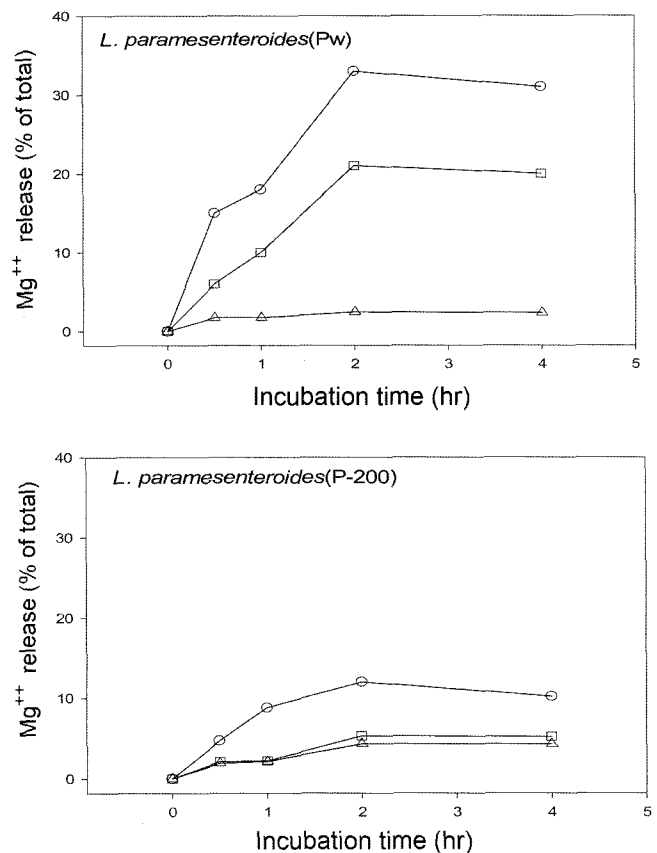


Fig. 4. Percent of Mg<sup>++</sup> released from cell membrane of LP-W and P-200 of *L. paramesenteroides* affected by pH. ○, pH 4; □, pH 5; △, pH 6.

#### 세포막의 지방산 조성

생태계에 존재하는 미생물이 외부 환경변화에 가장 먼저 접하고 반응하는 것이 세포막으로, 미생물은 외부환경이 급격하게 변화한다 해도 세포막의 구조적, 화학적 변화로 그 영향을 최소화하여 세포내의 항상성을 유지하려 하는 유순 방어막으로서의 기능이 있으며(16), 항생제 내성 병원성 세균에 대해서도 위의 기능이 보고되어 있다(17).

Rizzo 등(11)은 내산성이 강한 *Lactobacillus casei*, *Lac. plantarum*, *Lac. acidophilus* 등 젖산균의 지방산을 분석한 결과 C<sub>19:0 cyclo</sub>의 함량이 높았던 반면(35-39%), 이들 균주보다 내산성이 약한 *Lac. bulgaricus*는 그 함량이 매우 낮음(13%)을 보고하였고(18), Sim 등(10)은 *Lac. casei*를 대상으로 내산성의 변화와 지방산 조성의 관계를 연구하였는데 내산성이 증가할수록 C<sub>18:1</sub>은 감소되고 C<sub>19:0 cyclo</sub>는 증가한다고 하였다.

Fig. 5에서 보듯이 *L. paramesenteroides*는, C<sub>9</sub>, C<sub>11</sub>, C<sub>12</sub> 등의 지방산이 많이 검출되었고, C<sub>9</sub>의 경우 야생균주 LP-W는 35.4%인 반면 변이균주 P-200은 검출되지 않았다. P-200에서 C<sub>8</sub>, C<sub>10:0</sub>, C<sub>19:0 cyclo</sub>의 경우 많은 증가를 보여, 각각 0.3에서 22.5%, 1.2에서 34.8%, 0에서 11.4%로 증가하였다. C<sub>18:1</sub>의 경우 야생균주 LP-W는 2.5%이나 변이균주 P-200은 6.4%로 지방산이 증가를 하였다. 그러나 C<sub>19:0 cyclo</sub>의 경우 LP-W는 0%이나 P-200에서는 11.4%로 매우 증가하는 경향을 보여, P-200의 경우 비록 C<sub>18:1</sub>이 6.4%로 증가함에도 불구하고 C<sub>19:0 cyclo</sub>의 함량이 높아 내산성을 충분히 보유할 것으로 생각되었다.

따라서 5가지 내산성특성을 조사한 것 중 지방산조성에서 가

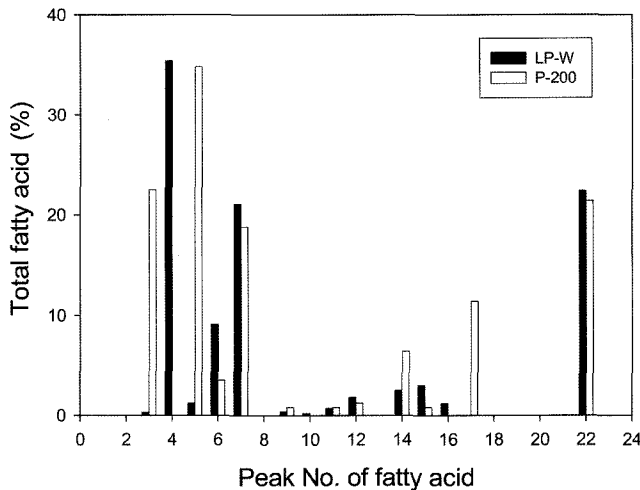


Fig. 5. Fatty acids compositions of the wild and mutant strains of *L. parmesenteroides*.

장 큰 차이를 보였는데 무엇보다  $C_{19:0}$  cyclo가 0%에서 11.4%로 크게 증가하므로 지방산 조성의 변화가 P-200이 LP-W 보다 더 강한 내산성을 가질 수 있었던 것에 가장 많이 기여하였을 것으로 생각되었다.

그리고 유기산내성 변이균주 P-200이 HCl 내성 변이주 P-100에 비하여 내산성이 더 강한 것을 지방산조성 분석에서도 알 수 있었다. 즉, P-200은  $C_{19:0}$  cyclo의 함량이 11.4%인데, P-100은 2.4%으로 약 5배 더 많았다. 따라서 내산성 정도의 특성을 나타내는 proton 투과도,  $H^+$ -ATPase의 활성, glycolysis 활성,  $Mg^{++}$  해리도, 지방산조성에서 볼 때 여기서도 가장 큰 차이는 지방산 조성에서  $C_{19:0}$  cyclo의 함량 차이라고 생각되었다. 이로 인하여 P-200이 P-100 보다 훨씬 더 내산성이 강한 것으로 생각되었다.

## 요 약

김치 starter로 개량된 유기산내성 변이균주 *L. parmesenteroides* P-200이 갖는 강한 내산성에 관한 생리적 성질을 규명하기 위하여 proton 투과도, ATPase 활성, glycolysis 활성,  $Mg^{++}$  해리도, 세포막의 지방산 조성을 야생균주(LP-W)와 비교 분석하였다. Proton 투과도 실험 결과 150 mM KCl 수용액 및 3% NaCl 수용액에서 변이균주 P-200의  $t_{1/2}$  최대값이 pH 4.0, 5.0 그리고 6.0에서 모두 야생균주 LP-W 보다 2내지 3분 정도 더 큰 값을 가지며 실제 proton 투과도 실험에서 proton의 평형을 이루는 시간이 LP-W 보다 약 50% 정도 더 길었다. ATPase 활성의 결과에서도 최대 활성은 P-200이 pH 5에서 0.7 unit/mg을, LP-W가 pH 6에서 0.6 unit/mg을 나타내어, 산성 환경에서 P-200이 LP-W보다 더욱 높은 활성을 유지하였다. 또한 전체 pH 4-7 범위에서 P-200이 야생균주 LP-W 보다 높은 활성을 보였다. 해당작용의 pH 의존성 결과에서는 최대 활성이 P-200은 pH 4에서 97%이었고, LP-W는 pH 5에서 96%이었다. 그리고 pH 5를 제외하면 측정한 pH 3-7 범위에서 LP-W에 비하여 P-200이 높은 해당작용 활성을 보였다.  $Mg^{++}$  해리도에 있어서는 pH 4에서 2시간 경과 후 P-200이 LP-W 보다 약 1/3 정도  $Mg^{++}$ 이 유출되었다. 지방산조성의 경우,

LP-W에서 내산성을 증가시키는  $C_{19:0}$  cyclo은 0%이었으나 P-200의 경우는 11.4%로 크게 증가하였다. 따라서 이상 5가지 내산성 특성을 조사한 것 중 지방산조성에서 가장 큰 차이를 보였는데, 무엇보다  $C_{19:0}$  cyclo가 0%에서 11.4%로 크게 증가하여 이러한 지방산 조성의 변화가 P-200이 LP-W 보다 더 강한 내산성을 가질 수 있었던 것에 가장 크게 기여하였을 것으로 생각되었다.

## 문 헌

1. Mhee TI, Kwon TW. Effect of temperature and salt concentration on kimchi fermentation. Korean J. Food Sci. Technol. 16: 443-450 (1984)
2. Kim YC, Jung EY, Kim EH, Jung DH, Yi OS, Kwon TJ, Kang SM. Strain improvement of *Leuconostoc parmesenteroides* as a acid-resistant mutant and effect on kimchi fermentation as a starter. Korean J. Microbiol. Biotechnol. 26: 151-160 (1998)
3. Gary R, Bender R, Marguis E. Membrane ATPases and acid tolerance of *Actinomyces viscosus* and *Lactobacillus casei*. Appl. Environ. Microb. 53: 2124-2128 (1987)
4. Poolman B, Molenaar D, Smid EJ, Ubbink T, Abeel T, Renault PP, Konings WN. Malolactic fermentation: Electrogenic malate uptake and malate/lactate antiport generate metabolic energy. J. Bacteriol. 173: 6030-6037 (1991)
5. Chun UH, Park BS, Cho JS. Optimum conditions for the protoplast formation of *Lactobacillus plantarum* and *Leuconostoc mesenteroides*. Korean J. Biotechnol. Bioeng. 9: 191-199 (1994)
6. Poole RK. The isolation of membranes from Bacteria. Biomembrane Protocols 19: 109-122 (1993)
7. Kirazov LP, Venkov LG, Kirazov EP. Comparison of the Lowry and the Bradford protein assays as applied for protein estimation of membrane-containing fractions. Anal. Biochem. 208: 44-48 (1993)
8. Graham JM, Higgins JA. Chemical assays for proteins. Biomembrane Protocols 19: 197-202 (1993)
9. Bender GR, Sutton SV, Marquis RE. Acid tolerance, protein permeabilities, and membrane ATPases of Oral Streptococci. Infect. Immun. 53: 331-338 (1986)
10. Sim JH, Kim SK, Baek YJ, Oh TK, Yang HC. Influence of culture conditions on acid tolerance of *Lactobacillus casei* YIT 9018. Korean J. Microbiol. Biotechnol. 23: 17-23 (1995)
11. Rizzo AF, Korkeala H, Mononen I. Gas chromatography analysis of cellular fatty acids and neutral monosaccharides in the identification of

- Lactobacilli*. Appl. Environ Microb. 53: 2883-2888 (1987)
12. Marty-Teyset C, Posthuma C, Lolkema JS, Schmitt P, Divies C, Konings WN. Proton motive force generation by citrolactic fermentation in *Leuconostoc mesenteroids*. J. Bacteriol. 175: 2178-2185 (1996)
13. Kobayashi H. Regulation of the cytoplasmic pH in *Streptococcus faecalis*. J. Biol. Chem. 257: 13246-13252 (1982)
14. Kim YC, Jung EY, Kim EH, Jung DH, Jung SH, Yi DH, Kwon TJ, Kang SM. Properties of acid tolerance of acid-resistant mutant *Leuconostoc mesenteroids* which was improved as kimchi starter. Korean J. Microbiol. Biotechnol. 26: 102-109 (1998)
15. Jos AF, Kamp OD. Dynamics and Biogenesis of Membranes. Springer-Verlag, Berlin, Germany. pp. 343-360 (1990)
16. Vigh L. The primary signal in the biological perception of temperature. P. Natl. Acad. Sci. USA 90: 9090-9094 (1993)
17. Durieu I, Abbas-Chorfa F, Drai J, Iwaz J, Steghens J-P, Puget M, Ecochard R, Bellon G. Plasma fatty acids and lipid hydroperoxides increase after antibiotic therapy in cystic fibrosis. Eur. Respir. J. 29: 958-964 (2007)
18. Veerkamp JH. Fatty acid composition of *Bifidobacterium* and *Lactobacillus* strains. J. Bacteriol. 108: 861-867 (1971)